

18,13

Поверхностные плазмон-поляритоны в тонкой пленке „графен-полупроводник-графен“

© А.С. Абрамов, Д.А. Евсеев, Д.И. Семенцов

Ульяновский государственный университет,
Ульяновск, Россия

E-mail: sementsovdi@mail.ru

Поступила в Редакцию 27 декабря 2018 г.

В окончательной редакции 27 декабря 2018 г.

Принята к публикации 16 апреля 2019 г.

Исследуются дисперсионные свойства поверхностных плазмон-поляритонов в полупроводниковой пленке с обкладками из графена в области дальнего инфракрасного излучения, а также возможность управления режимами распространения за счет изменения химического потенциала на одной или обеих обкладках. Получены и проанализированы дисперсионные соотношения для волн ТЕ и ТМ поляризации, построены распределения по структуре волнового поля и энергетических потоков. Обнаружены спектральные интервалы, в которых групповая скорость поверхностных волн отрицательна.

Ключевые слова: пленка полупроводника, слои графена, химический потенциал, плазмон-поляритоны, дисперсионные свойства.

DOI: 10.21883/FTT.2019.08.47987.349

1. Введение

Известно, что свойства поверхностных плазмон-поляритонов (ППП) во многом определяются характером дисперсии материальных параметров граничащих сред. В металло-диэлектрических направляющих структурах существование ППП обусловлено наличием широкой частотной области, в которой диэлектрическая проницаемость (ДП) металла отрицательна. Поведение и возможность практического применения ППП в таких структурах достаточно подробно исследовались в работах [1–7]. Однако использование в качестве направляющей поверхности металла неизбежно приводит к быстрому затуханию и малым длинам пробега поляритона. В этой связи интерес могут представлять структуры на основе полупроводниковых материалов, в которых ниже плазменной частоты также возможно существование и управление параметрами поверхностных волн [8–11].

В последнее время как один из перспективных материалов фотоники рассматривается графен и различные структуры на его основе. Ввиду особенностей дисперсии его проводимости физические свойства графеновых структур могут существенно отличаться от свойств структур на основе других материалов [12–18]. Для практических применений важную роль играют направляющие свойства графеновых структур, которые могут удерживать в широкой частотной области (от терагерцовой до оптической) локализованные плазмонные моды как на монослое графена, так и на двух и более его слоях, разделенных слоями диэлектрика [19–22].

В настоящей работе исследуются условия существования поверхностных ППП в тонкой пленке полупроводника с нанесенными на нее с обеих сторон слоями графена, изучается возможность управления их дисперсионными характеристиками за счет изменения химического потенциала (ХП) графена, показана возможность существенного замедления распространяющихся в структуре волн, а также достижения отрицательных значений их групповой скорости.

2. Материальные параметры структуры

Распространение поверхностных ППП будем рассматривать в структуре, состоящей из тонкой пленки слаболегированного полупроводника толщиной d , на обе (или одну) поверхности которой нанесен слой графена. Пленка со слоями графена находится между двух сред с ДП ε_1 и ε_3 , не зависящими от частоты. ДП полупроводника в приближении Друдэ–Лоренца представим в виде

$$\varepsilon_2(\omega) = \varepsilon_1 \left(1 - \frac{\omega_p^2}{\omega(\omega + i\gamma)} \right), \quad (1)$$

где ε_1 — вклад решетки, ω_p — плазменная частота, γ — частота релаксации [16]. Магнитные проницаемости всех сред приняты равными единице.

Частотная зависимость действительной и мнимой компонент поверхностной проводимости допированного графена $\sigma = \sigma' + i\sigma''$ в рамках модели Кубо определя-

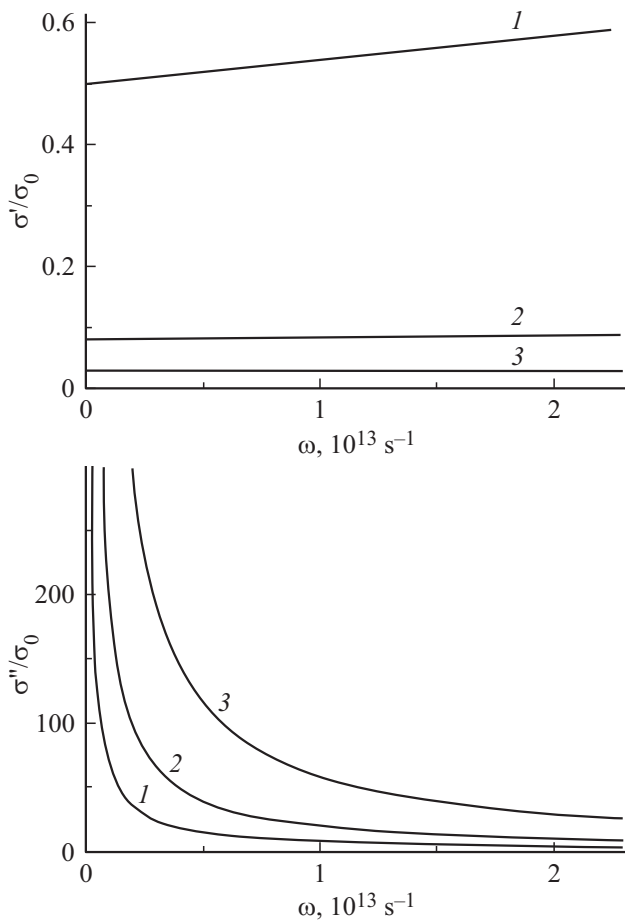


Рис. 1. Частотные зависимости действительной и мнимой части поверхностной проводимости графена при $\mu_{1,3} = (0.0, 0.1, 0.3)$ eV (кривые 1–3).

ются соотношениями [15,17]:

$$\frac{\sigma'}{\sigma_0} = \frac{1}{2} + \frac{1}{\pi} \arctg\left(\frac{\hbar\omega - 2\mu}{2k_B T}\right),$$

$$\frac{\sigma''}{\sigma_0} = \frac{1}{2\pi} \left[\frac{16k_B T}{\hbar\omega} \ln\left(2 \cosh\left(\frac{\mu}{2k_B T}\right)\right) - \ln\left(\frac{(\hbar\omega + 2\mu)^2}{(\hbar\omega - 2\mu)^2 + (2k_B T)^2}\right) \right], \quad (2)$$

где $\sigma_0 = e^2/4\hbar$ — фундаментальная (статическая) проводимость графена, e — заряд электрона, \hbar — постоянная Планка, k_B — постоянная Больцмана, T — температура, $\mu = \hbar v_F \sqrt{\pi n_0}$ — ХП, где n_0 и v_F — концентрация носителей заряда и скорость Ферми в графене. На рис. 1 представлены частотные зависимости действительной и мнимой частей поверхностной проводимости графена, построенные в соответствии с выражениями (2) для температуры $T = 300$ К и значений ХП $\mu = (0.0, 0.1, 0.3)$ eV (кривые 1–3). Величиной ХП в эксперименте можно эффективно управлять с помощью внешнего электрического поля и температуры [18].

3. Волновые поля и дисперсионное соотношение

Будем считать, что в исследуемой структуре вдоль оси Ox , параллельной границам раздела сред, могут распространяться локализованные волны линейной поляризации двух типов — ТМ и ТЕ с компонентами поля (E_x, H_y, E_z) и (H_x, E_y, H_z) соответственно. Каждая из этих компонент зависит от времени и координат следующим образом:

$$F_a(x, z, t) = F_a(z) \exp[i(\omega t - \beta x)], \quad (3)$$

где $F_a(z)$ — профильные функции, β — константа распространения, ω — частота. Уравнения для профильных функций волнового поля в каждой из сред ($j = 1, 2, 3$) имеют вид

$$\frac{\partial^2 F_y}{\partial z^2} - q_j^2 F_y = 0. \quad (4)$$

Здесь для волны ТМ типа $F_y = H_y$, для волны ТЕ типа $F_y = E_y$, поперечные компоненты волнового вектора $q_j = \sqrt{\beta^2 - k_0^2 \epsilon_j}$, где $k_0 = \omega/c$, c — скорость света в вакууме. Величины q_j характеризуют тип волны и глубину проникновения поля ПВ в подложку и покрывную среду. Необходимыми условиями существования волноводного режима в структуре являются неравенства $\text{Re}q_j^2 > 0$, которые обеспечивают экспоненциальный спад амплитуды волнового поля при удалении от границ раздела. Также требуется выполнение неравенств $\beta' > 0$, $\beta'' > 0$, первое из которых указывает на положительность фазовой скорости волны в структуре, второе — на отсутствие усиления. Существование ПВ в структуре определяется условием $\text{Re}q_2^2 = \text{Re}(\beta^2 - k_0^2 \epsilon_2) > 0$, при невыполнении этого неравенства в структуре возможно распространение волноводных мод.

Решение уравнения (4) для поверхностной ТМ волны запишем в виде

$$F_y(z) = \begin{cases} A_1 \exp(q_1 z), & z < 0, \\ A_2 \text{ch}(q_2 z) + A_3 \text{sh}(q_2 z), & 0 < z < d, \\ A_1 \exp(-q_3 z), & z > d. \end{cases} \quad (5)$$

Для определения входящих в (5) коэффициентов A_j и нахождения дисперсионного соотношения используем граничные условия для тангенциальных компонент электрического и магнитного полей при $z = 0, d$

$$E_{1,3x} = E_{2x}, \quad H_{1,3y} - H_{2y} = \pm(4\pi/c)\sigma_{1,3}E_{1,3x} \quad (\text{ТМ}),$$

$$E_{1,3y} = E_{2y}, \quad H_{1,3x} - H_{2x} = \mp(4\pi/c)\sigma_{1,3}E_{1,3y} \quad (\text{ТЕ}). \quad (6)$$

Для решения этих уравнений необходимо учитывать связь компонент волнового поля: в случае ТМ и ТЕ волн

$$E_x = (ik_0 \epsilon_j)^{-1} (\partial H_y / \partial z), \quad E_z = (\beta / k_0 \epsilon_j) H_y \quad (\text{ТМ}),$$

$$H_x = (ik_0)^{-1} (dE_y / dz), \quad H_z = (\beta / k_0) E_y \quad (\text{ТЕ}). \quad (7)$$

С учетом (5)–(7) для указанного типа волн получаем следующие дисперсионные соотношения

$$\exp(2q_2d) = \frac{1 - \frac{\varepsilon_1 q_2}{\varepsilon_2 q_1} - i \frac{4\pi\sigma_1 q_2}{\varepsilon_2 c k_0}}{1 + \frac{\varepsilon_1 q_2}{\varepsilon_2 q_1} + i \frac{4\pi\sigma_1 q_2}{\varepsilon_2 c k_0}} \frac{1 - \frac{\varepsilon_3 q_2}{\varepsilon_2 q_1} - i \frac{4\pi\sigma_3 q_2}{\varepsilon_2 c k_0}}{1 + \frac{\varepsilon_3 q_2}{\varepsilon_2 q_1} + i \frac{4\pi\sigma_3 q_2}{\varepsilon_2 c k_0}} \quad (\text{TM}),$$

$$\exp(2q_2d) = \frac{1 - \frac{q_2}{q_1} - i \frac{4\pi\sigma_1 k_0}{c q_2}}{1 + \frac{q_2}{q_1} + i \frac{4\pi\sigma_1 k_0}{c q_2}} \frac{1 - \frac{q_2}{q_3} - i \frac{4\pi\sigma_3 k_0}{c q_2}}{1 + \frac{q_2}{q_3} + i \frac{4\pi\sigma_3 k_0}{c q_2}} \quad (\text{TE}). \quad (8)$$

Эти уравнения с учетом комплексности входящих в них параметров определяют связь действительной и мнимой частей волнового числа $\beta = \beta' - i\beta''$ с частотой электромагнитной волны. Уравнения (8) записаны для случая различных значений проводимости графеновых слоев. В отсутствие слоев графена $\sigma_1 = \sigma_3 = 0$ и уравнения (8) сводятся к стандартным дисперсионным соотношениям для поверхностных волн в диэлектрическом волноводе [4,19]. В случае симметричных обкладок ($\varepsilon_1 = \varepsilon_3 = \varepsilon$ и $\sigma_1 = \sigma_3 = \sigma$) эти уравнения принимают более простой вид

$$\exp(q_2d) = \left(1 - \frac{\varepsilon q_2}{\varepsilon_2 q} - i \frac{4\pi\sigma q_2}{\varepsilon_2 c k_0}\right) \times \left(1 + \frac{\varepsilon q_2}{\varepsilon_2 q} + i \frac{4\pi\sigma q_2}{\varepsilon_2 c k_0}\right)^{-1} \quad (\text{TM}),$$

$$\exp(q_2d) = \left(1 - \frac{q_2}{q} - i \frac{4\pi\sigma k_0}{c q_2}\right) \times \left(1 + \frac{q_2}{q} + i \frac{4\pi\sigma k_0}{c q_2}\right)^{-1} \quad (\text{TE}), \quad (9)$$

где $q_1 = q_3 = q$. При записи дисперсионного уравнения для ТЕ волн учтено, что магнитные проницаемости всех сред равны единице.

4. Численный анализ

Ниже приведены результаты численного анализа режимов распространения поверхностных волн в рассматриваемой структуре. Диэлектрический отклик слоя полупроводника определяется выражением (1), в котором статическая ДП $\varepsilon_l = 10.9$, плазменная частота $\omega_p = 2.07 \cdot 10^{13} \text{ s}^{-1}$, частота релаксации носителей заряда $\gamma = 0.05\omega_p$. Далее также считаем, что пленка со слоями графена находится в вакууме, поэтому $\varepsilon_1 = \varepsilon_3 = 1$.

На рис. 2 приведены дисперсионные зависимости, являющиеся решением уравнения (7) для волны ТЕ типа при толщине волноведущего слоя $d = 10 \text{ nm}$. Константа распространения β' нормирована на величину $k_T = K_B T / \hbar c$, значение которой для рабочей температуры $T = 300 \text{ K}$ составляет $k_T = 1314.24 \text{ cm}^{-1}$. Пунктирные кривые I' и $2'$ отвечают зависимостям $\beta = k_0 \sqrt{\varepsilon_2(\omega)}$ и $\beta = k_0 \sqrt{\varepsilon}$, которые по своему смыслу являются фотонной линией в неограниченном полупроводнике и линией отсечки планарного волновода.

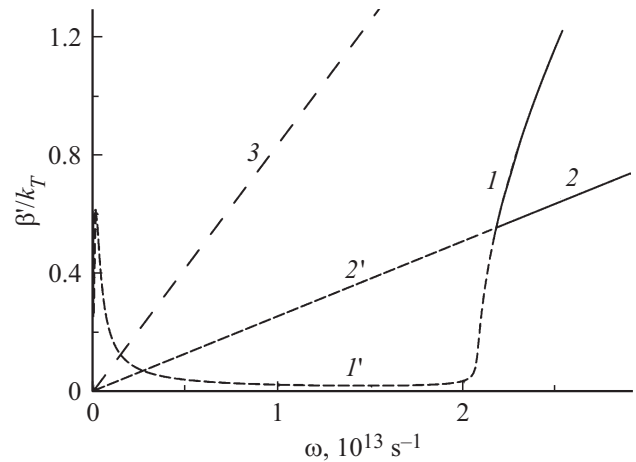


Рис. 2. Частотные зависимости константы распространения для ТЕ волн при $d = 0 \text{ mm}$, пунктирные кривые I' и $2'$ отвечают фотонной линии полупроводника $\beta = k_0 \sqrt{\varepsilon_2(\omega)}$ и линии отсечки $\beta = k_0 \sqrt{\varepsilon}$.

Эти кривые выше плазменной частоты ограничивают область существования волноводных мод данного волновода. Ниже плазменной частоты в структуре решений, отвечающих волноводным и поверхностным модам, нет. Крупный пунктир отвечает зависимости $\beta = k_0 \sqrt{\varepsilon_l}$, являющейся фотонной линией для диэлектрика с ДП ε_l . Таким образом из рисунка следует, что в области отрицательности ДП полупроводника решения дисперсионных уравнений для ТЕ волн не реализуются. Связано это с тем, что в случае ТЕ волны единственная компонента волнового электрического поля заставляет колебаться электроны поперек направления распространения волны. При этом возбуждение плазмонов — квантов продольных колебаний электронной плазмы (т.е. направленных вдоль распространения электромагнитной волны) затруднено.

В области существования волноводных мод ($\omega > \omega_p$) имеется два различных решения этих уравнений, одно из которых, фактически совпадает с линией отсечки 2 и является нулевой модой планарного волновода. Второе решение совпадает с зависимостью $\beta = k_0 \sqrt{\varepsilon_2(\omega)}$ (кривая 1) и является аналогом решения, полученного в работе [20] для диэлектрического планарного волновода с графеновыми обкладками. Отличительной особенностью этой волны является выполнение условия $\text{Re}q_2^2 = 0$ для любой частоты в этой области. При увеличении толщины слоя полупроводника в области частот ниже плазменной, поверхностные моды также не реализуются.

Рассмотрим теперь распространение в структуре волны ТМ поляризации. На рис. 3 приведены зависимости действительной и мнимой части константы распространения поверхностной ТМ волны от частоты, являющиеся решениями уравнения (9) при значении ХП слоев графена $\mu_1 = \mu_3 = 0.3 \text{ eV}$ и различных толщинах пленки: $d = 10, 50, 100, 500 \text{ nm}$ (кривые 1–4). Решения суще-

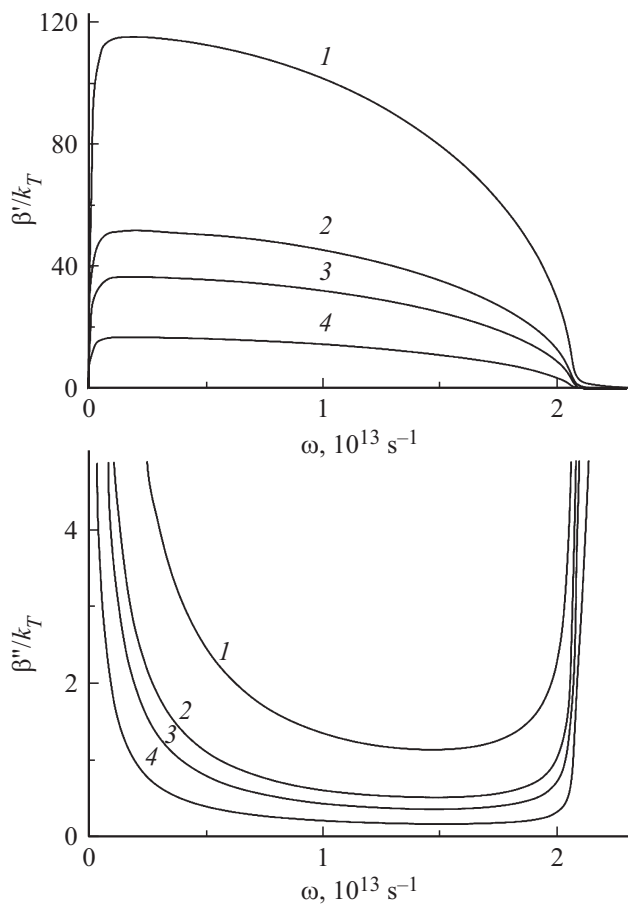


Рис. 3. Частотные зависимости действительной и мнимой части константы распространения поверхностной ТМ волны при $\mu_{1,3} = 0.3 \text{ eV}$ и толщинах пленки полупроводника $d = 10, 50, 100, 500 \text{ nm}$ (кривые 1–4).

ствуют в области отрицательности $\epsilon'_2(\omega)$, что является условием существования локализованной на границах раздела сред волны. Максимум константы распространения в этой области достигается на частоте ω_{cr} , определяемой равенством $d\beta'/d\omega = 0$. С увеличением толщины пленки диапазон значений каждой из компонент константы распространения на всем частотном интервале существенно сужается. При этом величина $\beta'' \sim 1/\gamma$ (где γ — длина пробега поверхностного поляритона) на два порядка меньше величины $\beta' \sim 1/\lambda$ (λ — длина волны) в достаточно широком частотном диапазоне ниже плазменной частоты $\omega_p = 2.07 \cdot 10^{13} \text{ s}^{-1}$. На частотах $\omega > \omega_p$ длина пробега волны резко сокращается, а β' стремится к линии отсечки.

Важными характеристиками волнового поля в структуре являются поперечные компоненты волнового вектора $q_{1,3}$. На существование ПВ в определенной частотной области указывает положительность величины $\text{Re}(q_{1,3})^2$. Наряду с этим величина $\delta_{1,3} = 1/q_{1,3}$ определяет глубину проникновения волнового поля ПВ в каждую из сред, граничащих с волноведущим слоем. На рис. 4 для пленки толщиной $d = 10 \text{ nm}$ приведены

частотные зависимости действительных частей константы распространения и квадрата поперечной компоненты волнового вектора поверхностной ТМ волны при двусторонней и односторонней вариации ХП (сплошные и пунктирные кривые). В первом случае $\mu_1 = \mu_3$, во втором — $\mu_1 = 0$ и в обоих случаях $\mu_3 = (0.0, 0.1, 0.3) \text{ eV}$ (кривые 1–3). Штриховая линия отвечает дисперсии структуры без графеновых слоев.

Из приведенных зависимостей следует, что ниже плазменной частоты на большей части области существования ПВ функция $\beta'(\omega)$ является монотонно убывающей, что указывает на отрицательность групповой скорости ПВ (в отсутствие графена групповая скорость остается положительной). С ростом ХП диапазон значений рассматриваемых величин на всем частотном интервале сужается. Видно также, что минимальная глубина залегания ПВ в каждой из сред наблюдается в области максимальных значений константы распространения, а максимальная — в области плазмонного резонанса. Выше плазменной частоты мнимая часть константы распространения резко возрастает, а величина $\text{Re}(q_{1,3})^2$

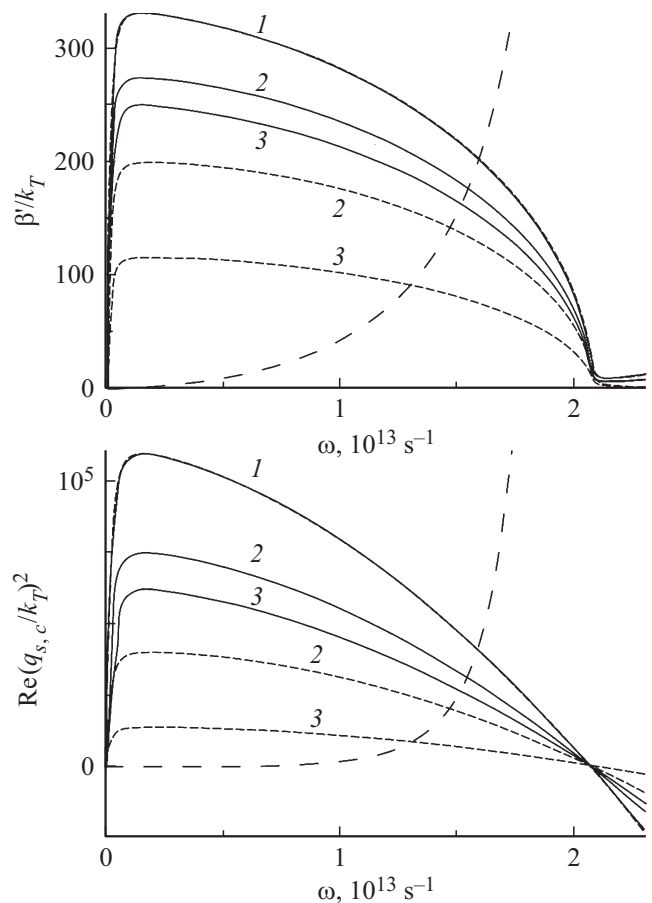


Рис. 4. Частотные зависимости константы распространения и квадрата поперечной компоненты волнового вектора при $\mu_{1,3} = (0, 0.1, 0.3) \text{ eV}$ (сплошные кривые 1–3) и $\mu_1 = 0 \text{ eV}$, $\mu_3 = (0, 0.1, 0.3) \text{ eV}$ (пунктирные кривые 1–3), штриховая линия отвечает случаю без графена.

становится отрицательной. Связано это с тем, что в этой области ДП полупроводника становится положительной и ПВ преобразуется в излучательную волну. Пробег такой волны мал, большая часть ее энергии излучается в покровные слои и частично поглощается свободными носителями заряда в полупроводнике и графене. Критерием превращения ПВ в объемную можно считать выполнение неравенств $\delta_d \gg \lambda/\sqrt{\epsilon_d}$, где $\lambda = 2\pi c/\omega$ — длина волны в вакууме. Волноводные моды также не могут существовать в структуре, так как выбранные толщины волноведущего слоя существенно меньше длины волны в полупроводнике ($d \ll \lambda/\sqrt{\epsilon_2}$).

На рис. 5 приведены распределения по сечению структуры магнитного и электрического полей ПВ, отвечающие частоте $\omega = 0.7 \cdot 10^{13} \text{ s}^{-1}$, $d = 10 \text{ nm}$ и значениям ХП $\mu_1 = \mu_3 = (0.0, 0.3) \text{ eV}$ (кривые 1, 2). При симметричных значениях ХП распределение компонент $H_y(z)$ и $E_z(z)$ симметрично, а $E_x(z)$ — антисимметрично (штриховая линия) по структуре. Наличие слоев графена приводит к разрыву магнитного поля на границах волноведущего слоя. При $\mu_1 \neq \mu_3$ симметрия в распределении полей пропадает. Изменяя величину ХП можно суще-

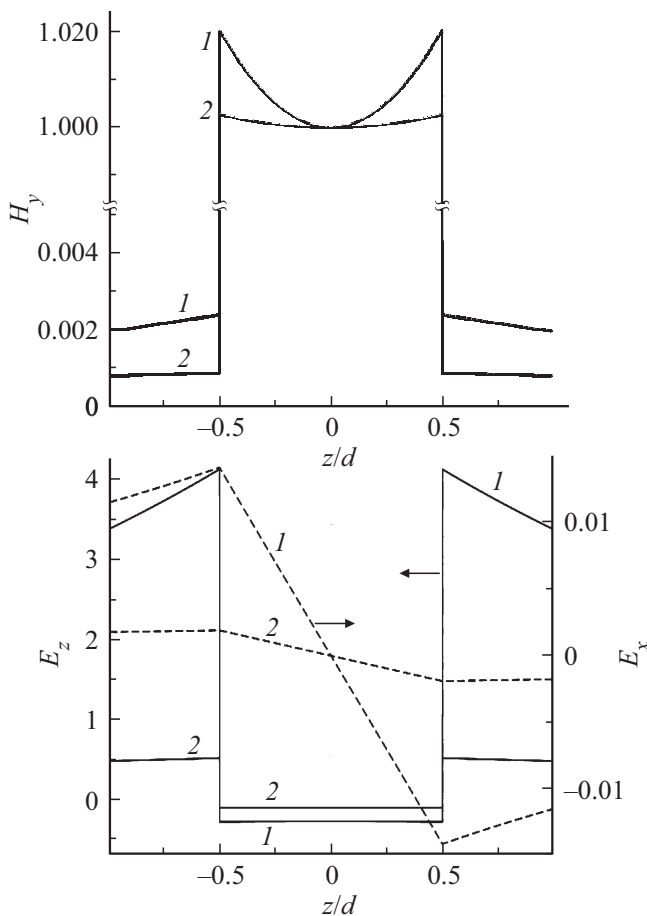


Рис. 5. Распределение полей H_y и E_z ТМ волны по сечению структуры при $\mu_{1,3} = (0, 0.3) \text{ eV}$ (кривые 1, 2), $d = 10 \text{ nm}$, $\omega = 0.7 \cdot 10^{13} \text{ s}^{-1}$.

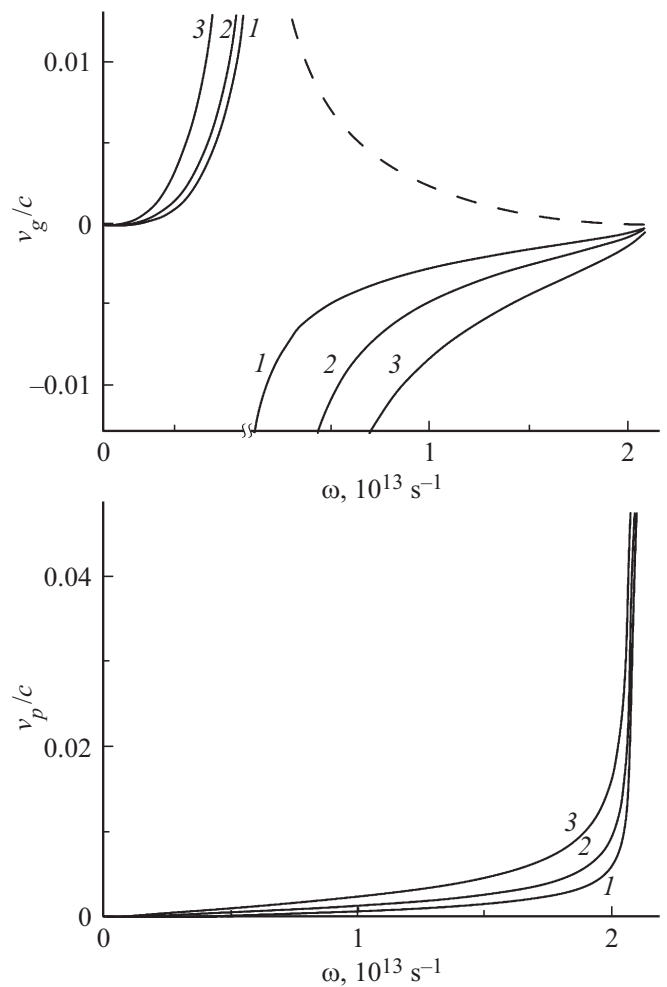


Рис. 6. Частотные зависимости групповой и фазовой скорости ТМ волны при $\mu_{1,3} = (0, 0.1, 0.3) \text{ eV}$ (кривые 1–3), штриховая кривая — случай без графена.

ственно модифицировать распределение волнового поля в структуре и ее дисперсионные свойства.

Далее рассмотрим частотные зависимости характерных скоростей ПВ, для построения которых использовались значения ХП $\mu_1 = \mu_3 = 0, 0.1, 0.3 \text{ eV}$ (кривые 1–3), штриховая линия отвечает структуре без графеновых слоев (рис. 6), для которой групповая скорость $v_g = d\omega/d\beta'$ положительна в рассматриваемом частотном интервале. Групповая скорость ПВ в области до критической частоты, отвечающей максимуму дисперсионной кривой $\beta'(\omega)$, принимает положительные значения, а для частот $\omega > \omega_{cr}$ — отрицательные. Вдали от ω_{cr} групповая скорость на два и более порядков меньше скорости света в вакууме, а при $\omega \rightarrow \omega_{cr}$ наблюдается ее асимптотический рост. При $\omega \rightarrow \omega_p$ значение групповой скорости стремится к нулю, т.е. имеет место значительное замедление ПВ. Увеличение ХП приводит к росту абсолютного значения групповой скорости.

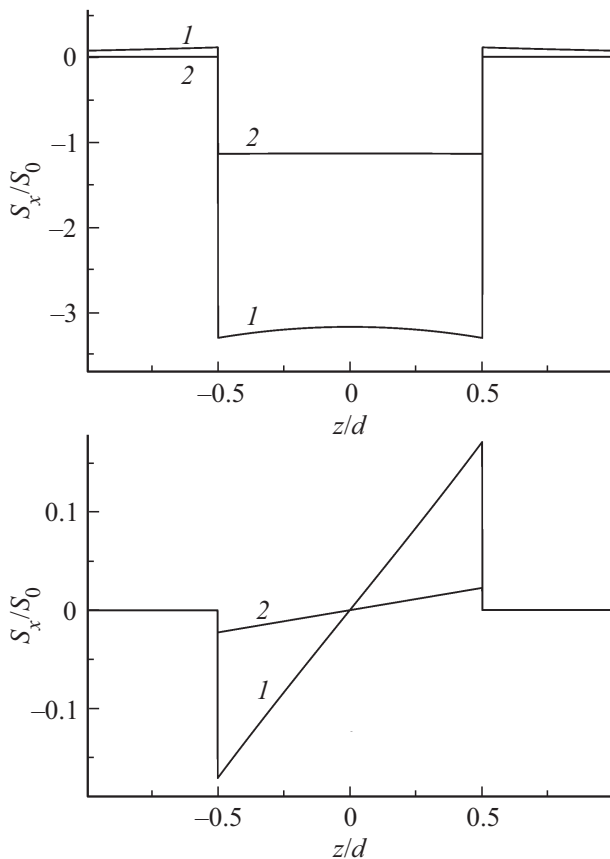


Рис. 7. Распределение продольной $\langle S_x \rangle$ и поперечной $\langle S_z \rangle$ компонент плотности потока энергии при $\mu_{1,3} = (0, 0.3)$ eV (кривые 1, 2).

Для фазовой скорости $v_{ph} = \omega/\beta'$ наблюдается медленный рост вдали от ω_p , при этом (как и групповая скорость) v_{ph} на два и более порядков меньше скорости света в вакууме. В узком спектральном интервале вблизи плазменной частоты наблюдается ее резкое увеличение.

Энергетической характеристикой волнового процесса с учетом его гармонической зависимости от времени является вектор Пойнтинга $\langle \mathbf{S} \rangle = (c/8\pi)\text{Re}(\mathbf{E} \times \mathbf{H}^*)$, определяющий в рассматриваемом нами случае среднюю за период плотность потока энергии ПВ. Наличие поперечной и продольной компонент электрического поля приводит к тому, что вектор $\langle \mathbf{S} \rangle$ также имеет продольную $\langle S_x \rangle$ и поперечную $\langle S_z \rangle$ составляющие. На рис. 7 представлено распределение по структуре указанных величин (нормированных на величину $S_0 = cH_0^2/8\pi$), полученных для значений $d = 10$ nm, $\omega = 0.7 \cdot 10^{13}$ s⁻¹ и $\mu_1 = \mu_3 = (0.0, 0.3)$ eV (кривые 1, 2). Компонента потока $\langle S_x \rangle$ распределена симметрично по структуре и имеет отрицательный знак (т.е. направлена против фазовой скорости), тогда как компонента $\langle S_z \rangle$ распределена антисимметрично. Видно, что в центральном сечении структуры поперечная компонента потока отсутствует, а при удалении от него составляющая потока $\langle S_z \rangle$

возрастает, отводя часть энергии к границам структуры, т.е. способствует ее локализации.

5. Заключение

В работе исследованы особенности распространения поверхностных волн в слое полупроводника, находящемся между двумя слоями графена. На основе решения граничной задачи получены дисперсионные соотношения для собственных ТМ и ТЕ волн в структуре. На основе численного анализа дисперсионных соотношений для области ниже плазменной частоты построены частотные зависимости константы распространения, групповой и фазовой скоростей, распределения волновых полей и энергетических потоков. Показано, что в области отрицательной ДП полупроводника решений, отвечающих поверхностным ТЕ волнам, в рассматриваемой структуре не существует. Для поверхностных ТМ волн групповая скорость в области до критической частоты, отвечающей максимуму дисперсионной кривой $\beta'(\omega)$, принимает положительные значения, а для частот $\omega > \omega_p$ — отрицательные. Вдали от ω_{cr} групповая скорость на два и более порядков меньше скорости света в вакууме, т.е. имеет место значительное замедление ПВ. Увеличение ХП графеновых слоев приводит к росту абсолютного значения групповой скорости. Продольная компонента энергетического потока $\langle S_x \rangle$ распределена симметрично по структуре и в области $\omega > \omega_{cr}$ имеет отрицательный знак (т.е. направлена против фазовой скорости). Проведенный анализ указывает на возможность управления дисперсионными характеристиками ПВ за счет изменения ХП графеновых слоев, плазменной частоты и толщины слоя полупроводника. Отметим также, что эффективное управление ПВ в структуре может осуществляться с помощью внешнего магнитного поля, существенно влияющего не только на состояние полупроводника, но и графена. Однако эти вопросы требуют отдельного рассмотрения.

Финансирование работы

Работа выполнена при поддержке Российского Научного Фонда (проект № 17-72-10135) и Министерства образования и науки РФ (проект № 3.6825/БЧ).

Конфликт интересов

Авторы заявляют, что у них нет конфликта интересов.

Список литературы

- [1] Поверхностные поляритоны: электромагнитные волны на поверхностях и границах раздела сред / Под ред. В.М. Аграновича, Д.Л. Миллса. Наука, М. (1985).
- [2] А.А. Семенов, С.Ф. Карманенко, А.А. Мелков, А.В. Бобыль, Р.А. Сурис, Ю.М. Гальперин, Т.Х. Иохансен. ЖТФ 71, 10, 13 (2001).

- [3] S. Maier. Plasmonics: Fundamentals and Applications. Springer, N.Y. (2007).
- [4] В.И. Белотелов, Д.А. Быков, Л.Л. Досколович, А.Н. Калиш, А.К. Звездин. ФТТ **51**, 1562 (2009).
- [5] Д.Ю. Федянин, А.В. Арсенин, В.Г. Лейман, А.Д. Гладун. Квант. электроника **39**, 745 (2009).
- [6] А.С. Абрамов, И.О. Золотовский, Д.Г. Санников, Д.И. Семенцов. ФТТ **57**, 639 (2015).
- [7] G.W. Hanson. J. Appl. Phys. **103**, 064302 (2008).
- [8] Н.Л. Дмитрук, В.Г. Литовченко, В.Л. Стрижевский. Поверхностные поляритоны в полупроводниках и диэлектриках. Наук. думка, Киев (1989).
- [9] Г.А. Марциновский, Г.Д. Шандыбина, Ю.С. Дементьева, Р.В. Дюкин, С.В. Заботнов, Л.А. Головань, П.К. Кашкаров. ФТТ **43**, 1339 (2009).
- [10] В.А. Кособукин. ФТТ **59**, 5972 (2017).
- [11] А.С. Абрамов, И.О. Золотовский, С.Г. Моисеев, Д.И. Семенцов. Квант. электроника **48**, 22 (2018).
- [12] С.В. Морозов, К.С. Новоселов, А.К. Гейм. УФН **178**, 776 (2008).
- [13] A.H. Castro Neto, F. Guinea, N.M.R. Peres, K.S. Novoselov, A.K. Geim. Rev. Mod. Phys. **81**, 109 (2009).
- [14] Л.А. Фальковский. УФН **182**, 1223 (2012).
- [15] Ю.Е. Лозовик. УФН **182**, 1111 (2012).
- [16] З.З. Алисултанов, Р.П. Мейланов. ФТТ **54**, 12, 1398 (2012).
- [17] Д.Ю. Усачёв, А.В. Фёдоров, О.Ю. Вилков, Б.В. Сеньковский, В.К. Адамчук, Б.В. Андрияшечкин, Д.В. Вялых. ФТТ **55**, 6, 1231 (2013).
- [18] G.W. Hanson. J. Appl. Phys. **104**, 8, 084314 (2008).
- [19] П.И. Буслаев, И.В. Иорш, И.В. Шадрин, П.А. Белов, Ю.С. Кившарь. Письма в ЖЭТФ **97**, 619 (2013).
- [20] D. Smirnova, P. Buslaev, I. Iorsh, I.V. Shadrivov, P.A. Belov, Yu.S. Kivshar. Phys. Rev. B **89**, 245414 (2014).
- [21] Д.А. Смирнова, И.В. Иорш, И.В. Шадрин, Ю.С. Кившарь. Письма в ЖЭТФ **99**, 527 (2014).
- [22] Д.А. Евсеев, Д.И. Семенцов. ФТТ **60**, 609 (2018).

Редактор Т.Н. Василевская